

IIC2685 Robótica Móvil I – 2022

Capítulo 4.2

Modelos de Sensor

Profesor: Gabriel Sepúlveda V.
grsepulveda@ing.puc.cl

Agenda

- Entender qué es un modelo probabilístico de sensor
- Dar los fundamentos de tres tipos de modelos de sensor
 - Beam-based sensor model
 - Likelihood Fields sensor model
 - Map-matching sensor model

Recordemos el Capítulo 5.1

- Cuando queremos estimar el “estado del mundo” x_t dadas las acciones u y observaciones z ocurridas hasta el tiempo t :

$$\begin{aligned} Bel(x_t) &= P(x_t | u_1, z_1, \dots, u_t, z_t) \\ &= \eta P(z_t | x_t) \int_{x_{t-1}} P(x_t | u_t, x_{t-1}) Bel(x_{t-1}) dx_{t-1} \end{aligned}$$

Recordemos el Capítulo 5.1

- Cuando queremos estimar el “estado del mundo” x_t dadas las acciones u y observaciones z ocurridas hasta el tiempo t :

$$\begin{aligned} Bel(x_t) &= P(x_t | u_1, z_1, \dots, u_t, z_t) \\ &= \eta P(z_t | x_t) \int_{x_{t-1}} P(x_t | u_t, x_{t-1}) Bel(x_{t-1}) dx_{t-1} \end{aligned}$$

Factor de normalización

Sensor model

Motion model

“Belief” anterior

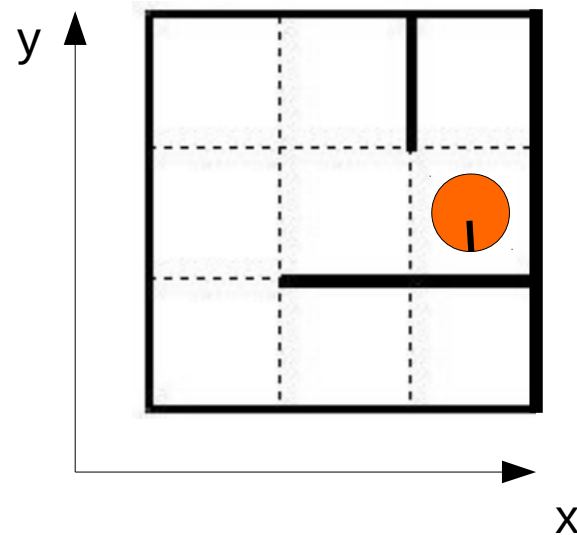
Sensor Model

- **Modelo de sensor:** describe el proceso de generación de mediciones **dentro de un ambiente físico**.
- El ambiente físico o entorno, es representado por un “mapa” **m** , tal que:

$$P(z|x) \rightarrow P(z|x, m)$$

- **Problema:** dado el estado del mundo (x_t) y el mapa (m), ¿ cuál es la **distribución** de la observación del robot ?
 - En otras palabras, ¿ qué tan probable es observar **z** ?
- Veamos un ejemplo simple en *MazeWorld* !

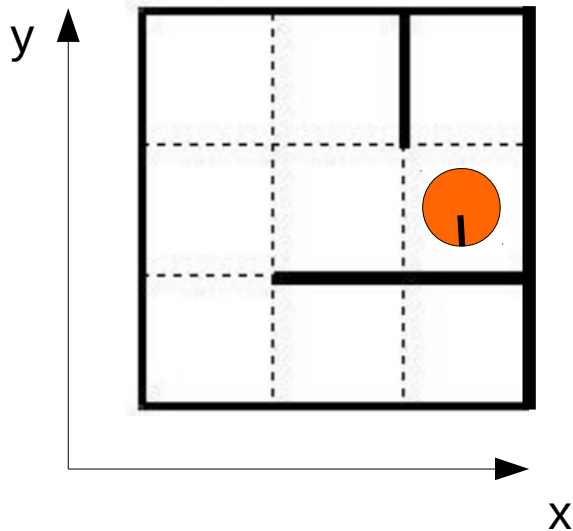
Maze World: Laberinto



- La pose estará dada por (x,y,θ) . θ puede ser (up, right, down, left)
- El robot sólo ve la existencia/ausencia de las cuatro (posibles) paredes alrededor.
- ¿ Cuántos estados posibles existen para *el mundo MazeWorld* ?

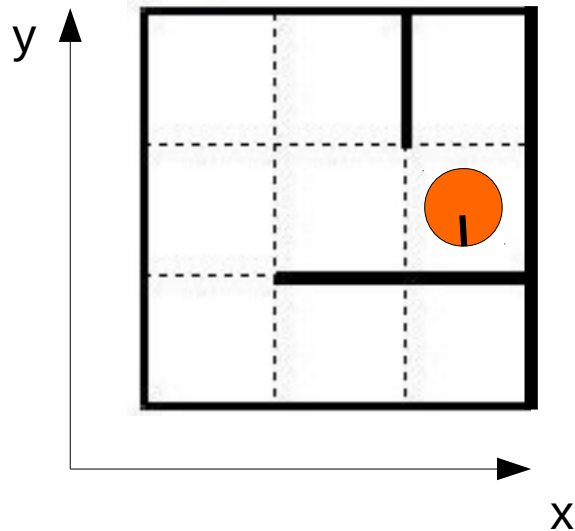
Maze World: Laberinto

- En total, son $9 \times 4 = 36$ estados posibles (9 posiciones x 4 orientaciones)
- Si el robot “observa” que tiene una pared **al frente** y otra a **su izquierda**, mientras que atrás y a su derecha no hay pared, ¿cuál sería $P(z|x,m)$?



Maze World: Laberinto

- En total, son $9 \times 4 = 36$ estados posibles (9 posiciones x 4 orientaciones)
- Si el robot “observa” que tiene una pared **al frente** y otra a **su izquierda**, mientras que atrás y a su derecha no hay pared, ¿cuál sería $P(z|x,m)$?

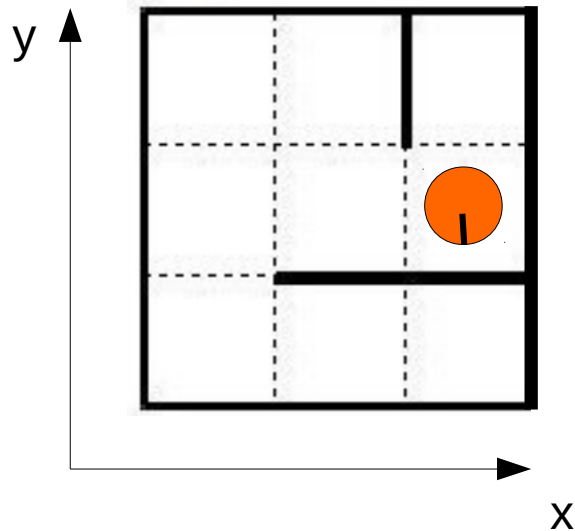


Estados posibles (x,y,θ) :

$(0,0,l), (0,2,u), (1,2,r), (2,1,d)$

Maze World: Laberinto

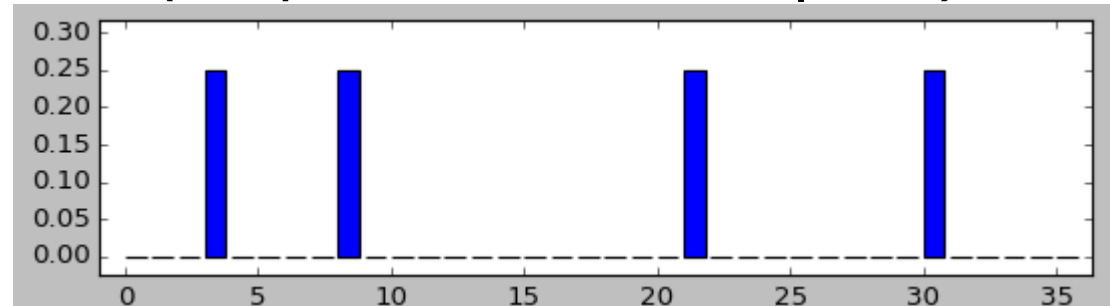
- En total, son $9 \times 4 = 36$ estados posibles (9 posiciones x 4 orientaciones)
- Si el robot “observa” que tiene una pared **al frente** y otra a **su izquierda**, mientras que atrás y a su derecha no hay pared, ¿cuál sería $P(z|x,m)$?



Estados posibles (x,y,θ) :

$(0,0,l), (0,2,u), (1,2,r), (2,1,d)$

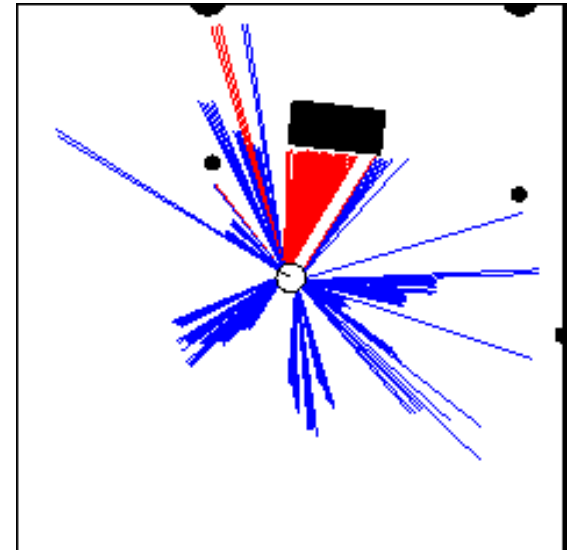
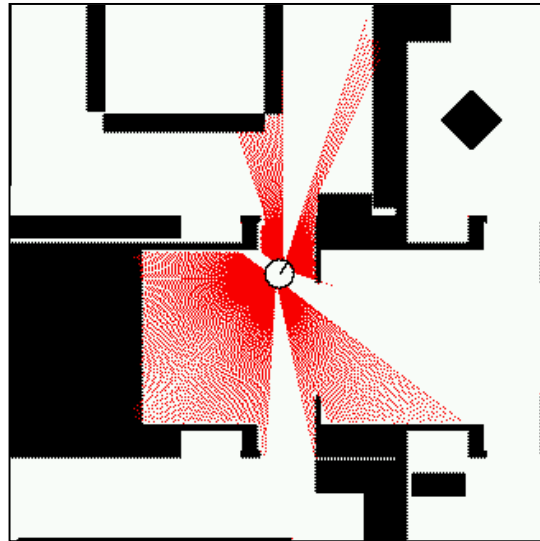
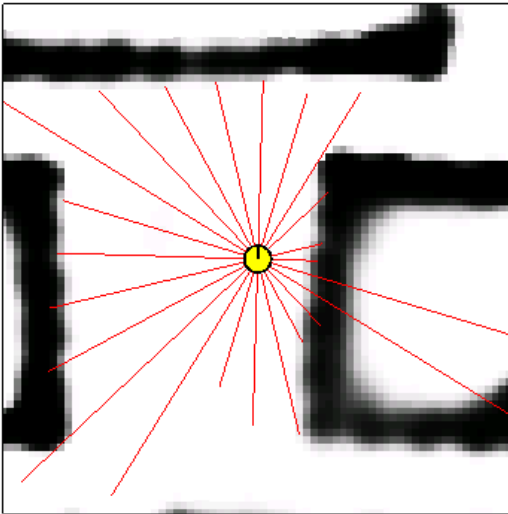
$P(z=up_wall \ \& \ left_wall \mid x, m)$



Estados totales del mundo (x)

Sensor Model

- En la práctica, tanto x , y y la orientación θ son continuos
- Pero la metodología es la misma: obtener la distribución de la observación z .



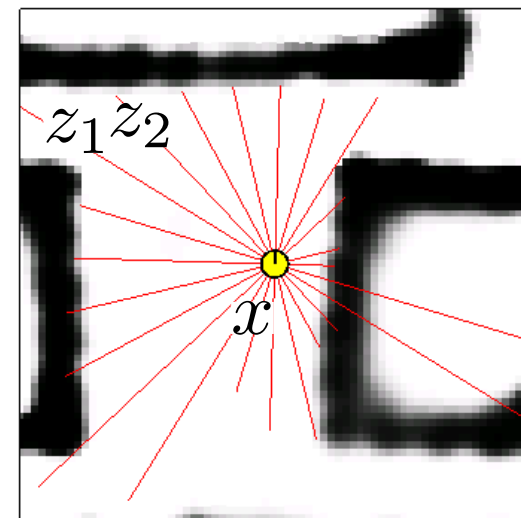
Beam-based Model

- Supondremos que disponemos de K mediciones (por ejemplo las de un Rangefinder)

$$z = \{z_1, z_2, \dots, z_K\}$$

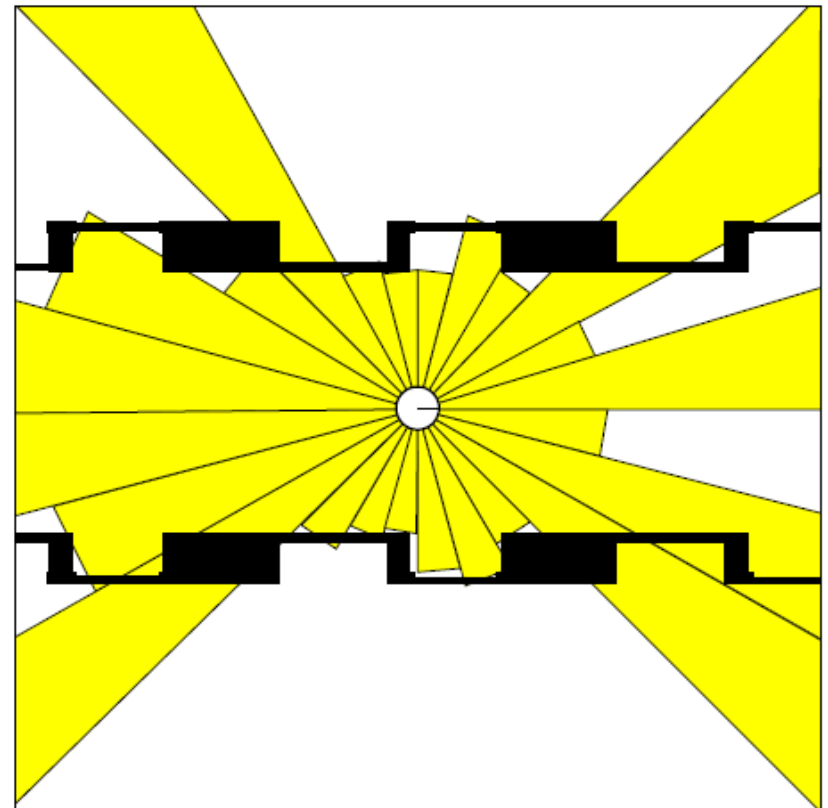
- Supondremos que las mediciones son **condicionalmente independientes** dada la posición del robot (x)

$$P(z|x, m) = \prod_{k=1}^K P(z_k|x, m)$$



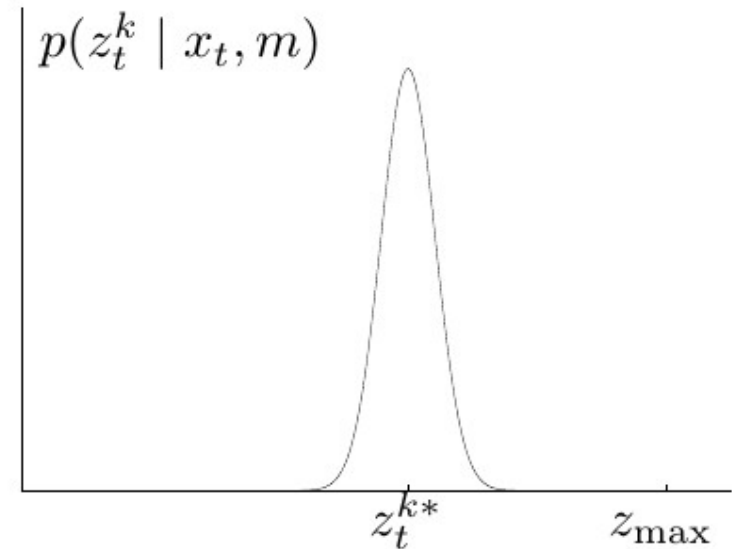
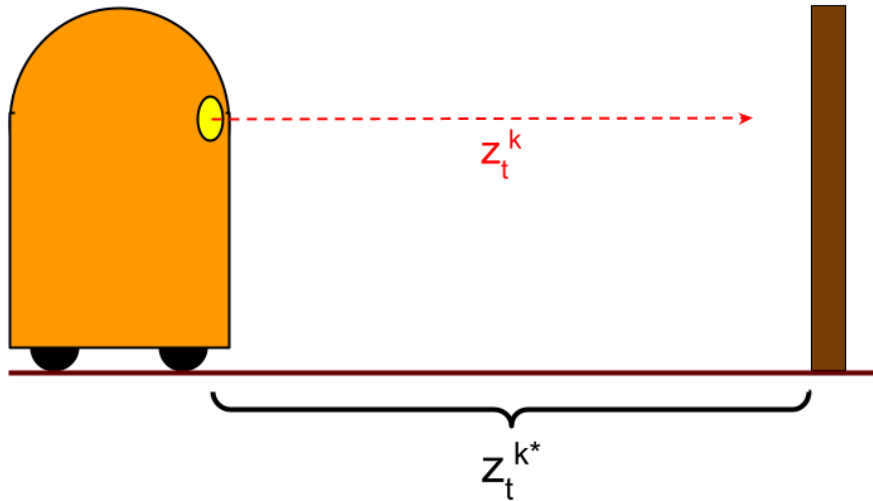
Beam-based Model

- Beam-based model **modela la medición incluyendo el ruido del sensor** según cuatro fuentes de reflexión:
 - 1) Obstáculos fijos (ej: paredes)
 - 2) Objetos inesperados (ej: personas)
 - 3) Fallas de medición (z_{max})
 - 4) Mediciones aleatorias (ruido)
 - En medición
 - Random $[0, z_{max}]$



Beam-based Model

1) Distancia a obstáculo más ruido de medición local

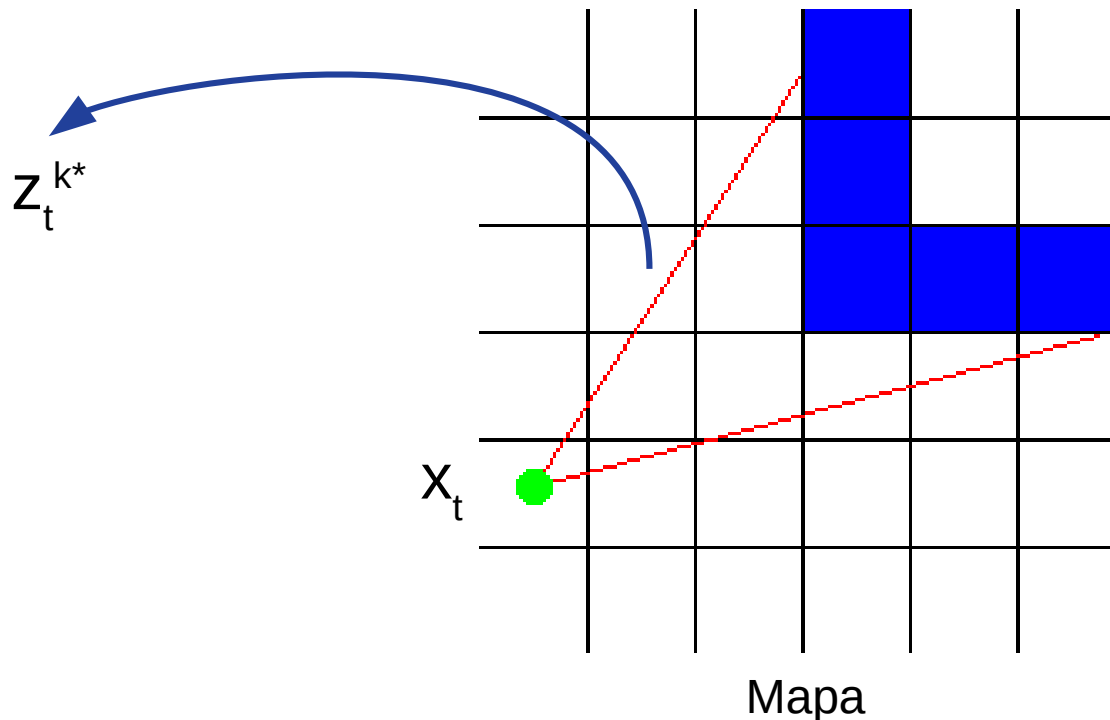


- z_t^{k*} es calculado a partir de x_t y m por medio del proceso de *ray casting*

Beam-based Model

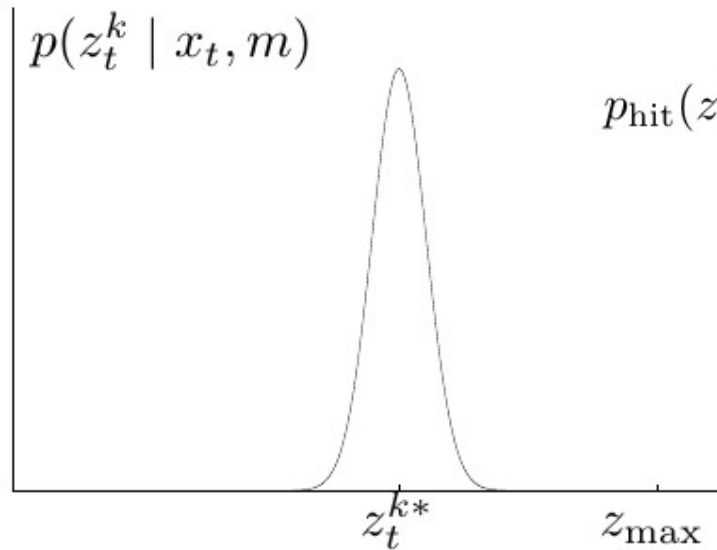
1) Distancia a obstáculo más ruido de medición local

Ray Casting: proceso mediante el cual se calcula la distancia desde el sensor hasta el obstáculo, dentro del mapa



Beam-based Model

1) Distancia a obstáculo más ruido de medición local



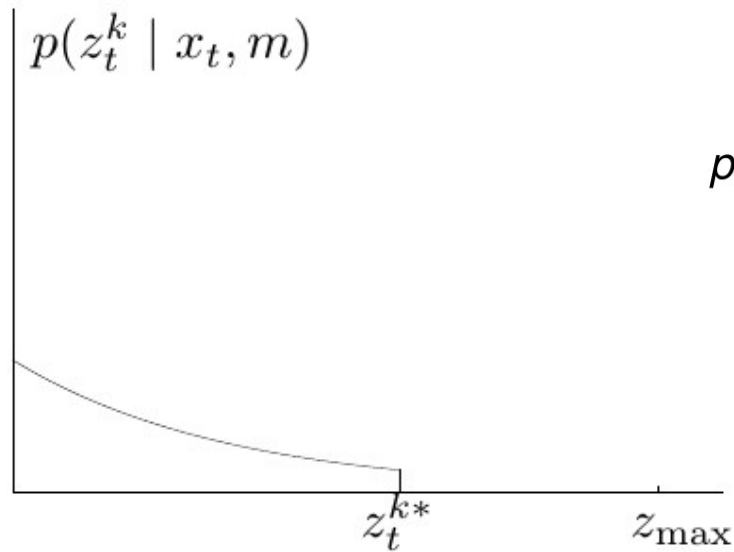
$$p_{\text{hit}}(z_t^k | x_t, m) = \begin{cases} \eta \mathcal{N}(z_t^k; z_t^{k*}, \sigma_{\text{hit}}^2) & \text{if } 0 \leq z_t^k \leq z_{\text{max}} \\ 0 & \text{otherwise} \end{cases}$$

$$\mathcal{N}(z_t^k; z_t^{k*}, \sigma_{\text{hit}}^2) = \frac{1}{\sqrt{2\pi\sigma_{\text{hit}}^2}} e^{-\frac{1}{2} \frac{(z_t^k - z_t^{k*})^2}{\sigma_{\text{hit}}^2}}$$

$$\eta = \left(\int_0^{z_{\text{max}}} \mathcal{N}(z_t^k; z_t^{k*}, \sigma_{\text{hit}}^2) dz_t^k \right)^{-1}$$

Beam-based Model

2) Obstáculos inesperados (o cortos)



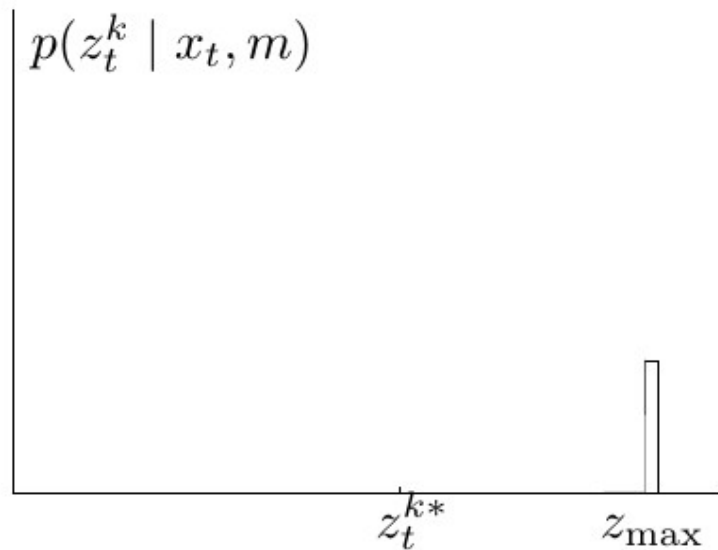
$$p_{short}(z_t^k | x_t, m) = \begin{cases} \eta \cdot \lambda_{short} \cdot e^{\lambda_{short} \cdot z_t^k} & ; \text{ si } 0 \leq z_t^k \leq z_t^{k*} \\ 0 & ; \text{ otros casos} \end{cases}$$

$$\eta = \frac{1}{1 - e^{-\lambda_{short} z_t^{k*}}}$$

- Rangos siempre menores a (más cortos que) z_t^{k*}
- Verosimilitud decrece con la distancia al medir objetos inesperados

Beam-based Model

3) Fallas (zmax)

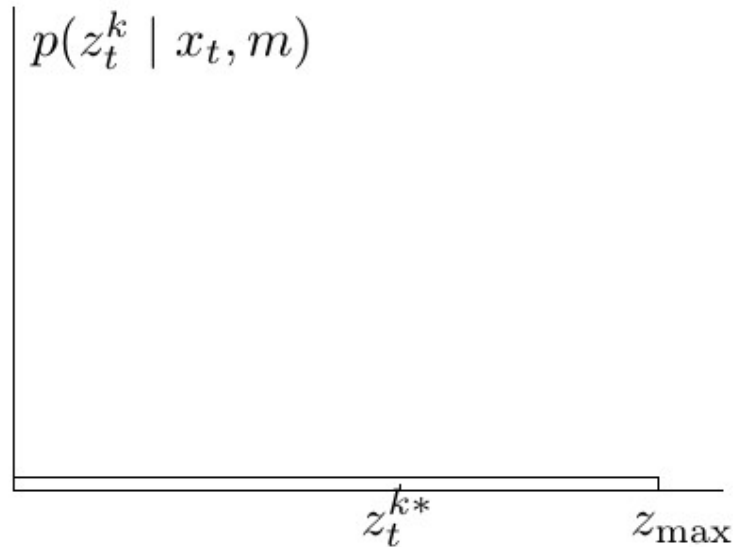


$$p_{max}(z_t^k | x_t, m) = \begin{cases} 1 & ; \text{si } z = z_{max} \\ 0 & ; \text{otros casos} \end{cases}$$

- Medición con sonar sobre superficies en ángulos grandes
- Medición laser de objetos negros o absorbentes de luz
- Medición laser de objetos bajo luz brillante
- Medición de objetos ubicados más allá de máximo alcance z_{max}

Beam-based Model

4) Medición aleatoria



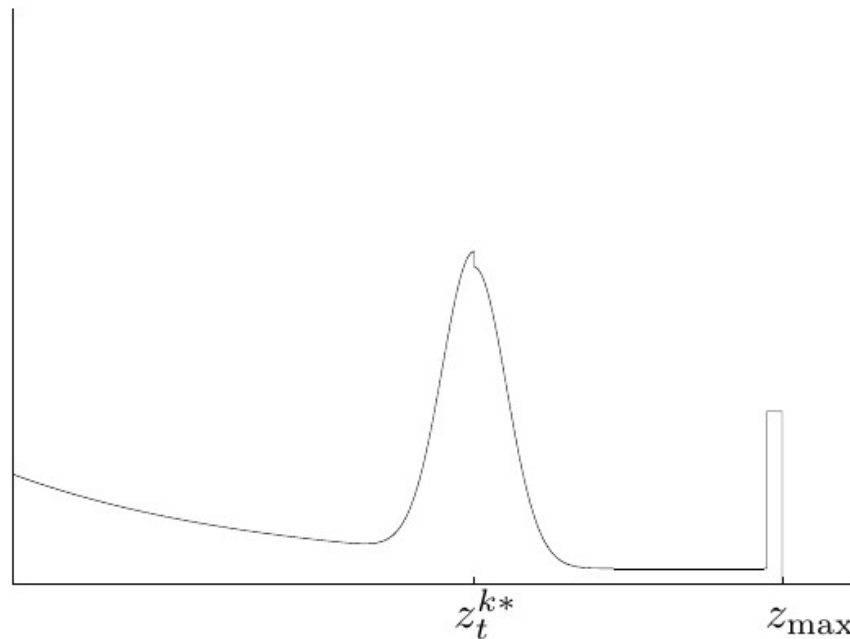
$$p_{rand}(z_t^k | x_t, m) = \begin{cases} \frac{1}{z_{max}} & ; \text{si } 0 \leq z_t^k < z_{max} \\ 0 & ; \text{otros casos} \end{cases}$$

- Errores inexplicables y aleatorios

Beam-based Model

- El resultado es la suma ponderada de todas las contribuciones

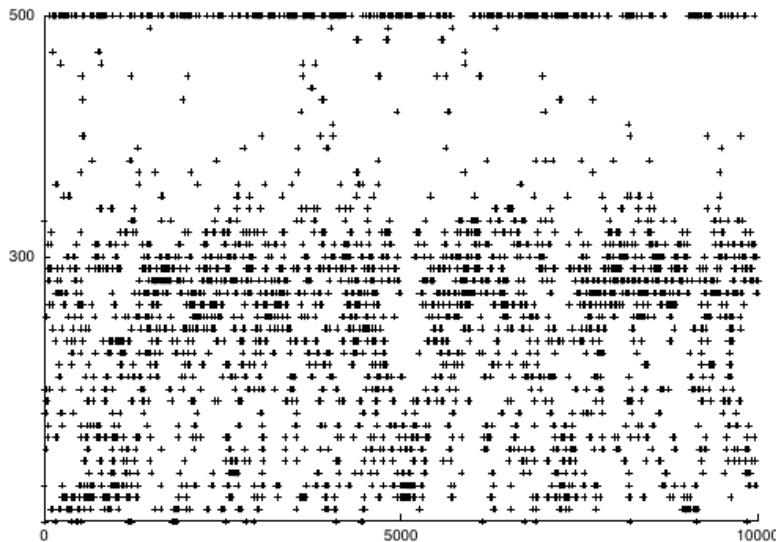
$$p(z_t^k \mid x_t, m) = \begin{pmatrix} z_{\text{hit}} \\ z_{\text{short}} \\ z_{\text{max}} \\ z_{\text{rand}} \end{pmatrix}^T \cdot \begin{pmatrix} p_{\text{hit}}(z_t^k \mid x_t, m) \\ p_{\text{short}}(z_t^k \mid x_t, m) \\ p_{\text{max}}(z_t^k \mid x_t, m) \\ p_{\text{rand}}(z_t^k \mid x_t, m) \end{pmatrix}$$



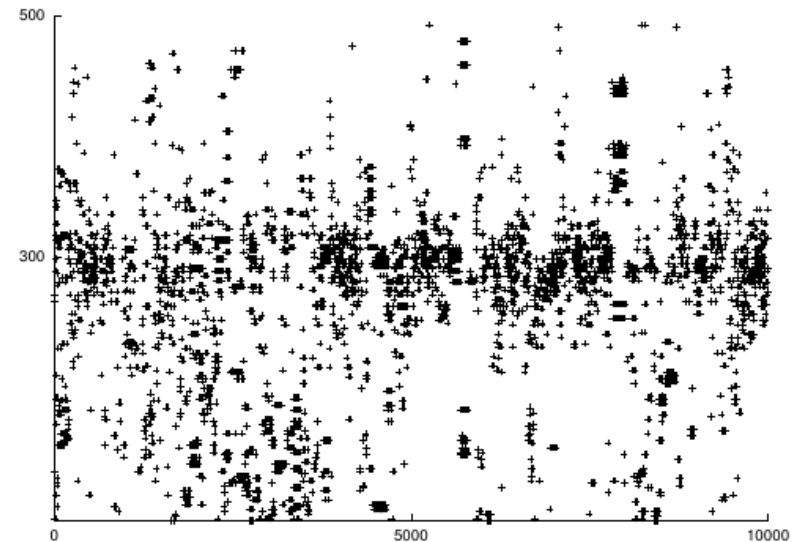
Beam-based Model

¿ Qué tan bien se ajusta nuestro modelo a datos reales ?

- Datos obtenidos por un sonar y un laser dentro de una oficina
- Alcance “real” a obstáculo: 300 [cm]
- Alcance máximo: 500 [cm]
- Número de lecturas: 10.000



Sonar



Laser

Beam-based Model

¿ Cómo determinar los parámetros de las distribuciones: z_{hit} , z_{short} , z_{max} , z_{rand} , σ_{hit} y λ_{short} ?

- **Solución 1:** Ajustar distribuciones “al ojo” hasta que sean coherentes con los datos reales
- **Solución 2:** Obtener datos y encontrar los parámetros con un algoritmo estimador de máxima verosimilitud (*ML estimator*)

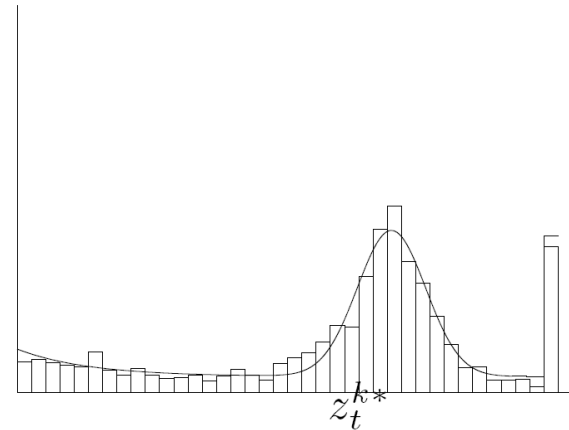
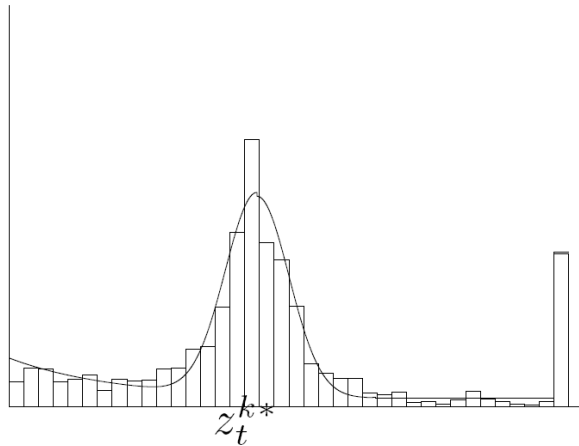
$$P(Z|X, m, \Theta)$$

- Datos: $Z = \{z_i\}$ y $X = \{x_i\}$
- Mapa: m
- Conjunto de parámetros a estimar: Θ

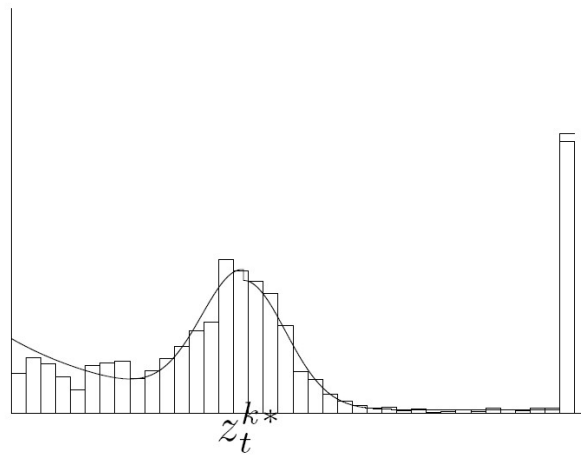
Beam-based Model

Aproximación de modelo Beam-based mediante estimador de ML

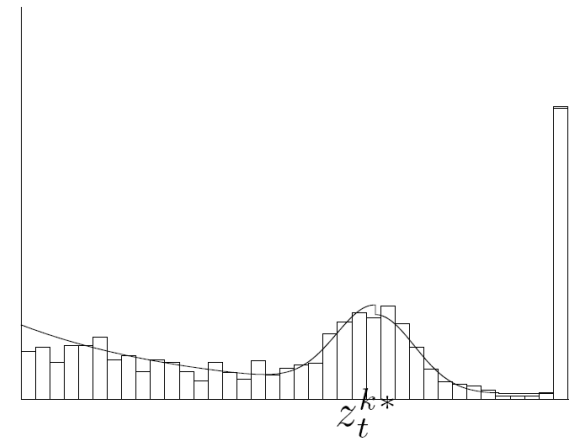
Laser



Sonar



300cm



400cm

Beam-based Model

- Notar que es un modelo independiente por cada “rayo” (beam)

$$P(z|x, m) = \prod_{k=1}^K P(z_k|x, m)$$

- Según lo anterior, el algoritmo toma la siguiente forma:

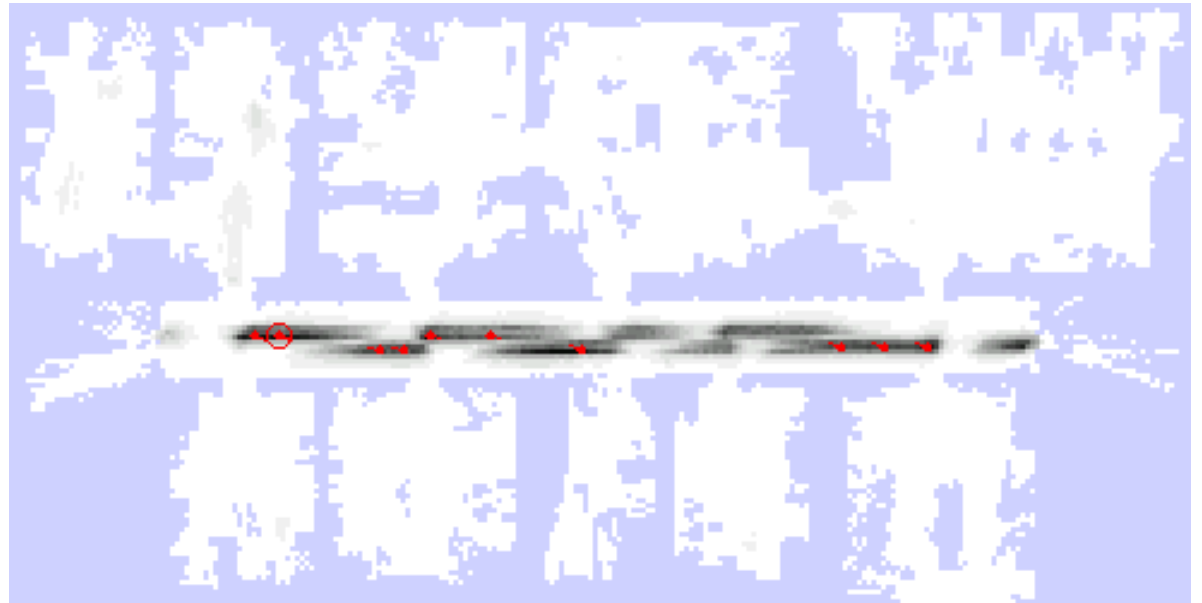
```
1:   Algorithm beam_range_finder_model( $z_t, x_t, m$ ):  
2:        $q = 1$   
3:       for  $k = 1$  to  $K$  do  
4:           compute  $z_t^{k*}$  for the measurement  $z_t^k$  using ray casting  
5:            $p = z_{\text{hit}} \cdot p_{\text{hit}}(z_t^k \mid x_t, m) + z_{\text{short}} \cdot p_{\text{short}}(z_t^k \mid x_t, m)$   
6:                $+ z_{\text{max}} \cdot p_{\text{max}}(z_t^k \mid x_t, m) + z_{\text{rand}} \cdot p_{\text{rand}}(z_t^k \mid x_t, m)$   
7:            $q = q \cdot p$   
8:       return  $q$ 
```

Beam-based Model

Cálculo de verosimilitud para **todas las poses** del mapa



z_t



$P(z_t | x_t, m)$

- Robot es ubicado en mapa de ocupación previamente adquirido
- Se utiliza un sensor de 180°
- Solo una medición es insuficiente para determinar pose exacta del robot (alta simetría en pasillo)

Beam-based Model - resumen

- Supone independencia condicional entre mediciones
- Modela las causas de las mediciones
 - Obstáculos (paredes), objetos móviles (personas), errores.
 - Supone independencia entre beams. Puede no ser cierto.
- Implementación
 - Aprender parámetros a partir de datos reales
 - Un modelo para cada “rayo”
 - ... y potencialmente un modelo para cada distancia
- Problemas
 - Por las razones anteriores, **no es eficiente** y no es muy usado en la práctica, aunque provee del mayor nivel de robustez comparativa a otros modelos.
 - Las distribuciones **no son “suaves”** con respecto a pequeños cambios de x_t

Likelihood Fields Model

- ¿ Cómo mejorar la eficiencia del modelo Beam-based ?

Solución 1: Subsamplear mediciones hasta obtener un número menor de beams equiespaciados

Solución 2: Evitando usar modelos por cada ángulo y distancia!:

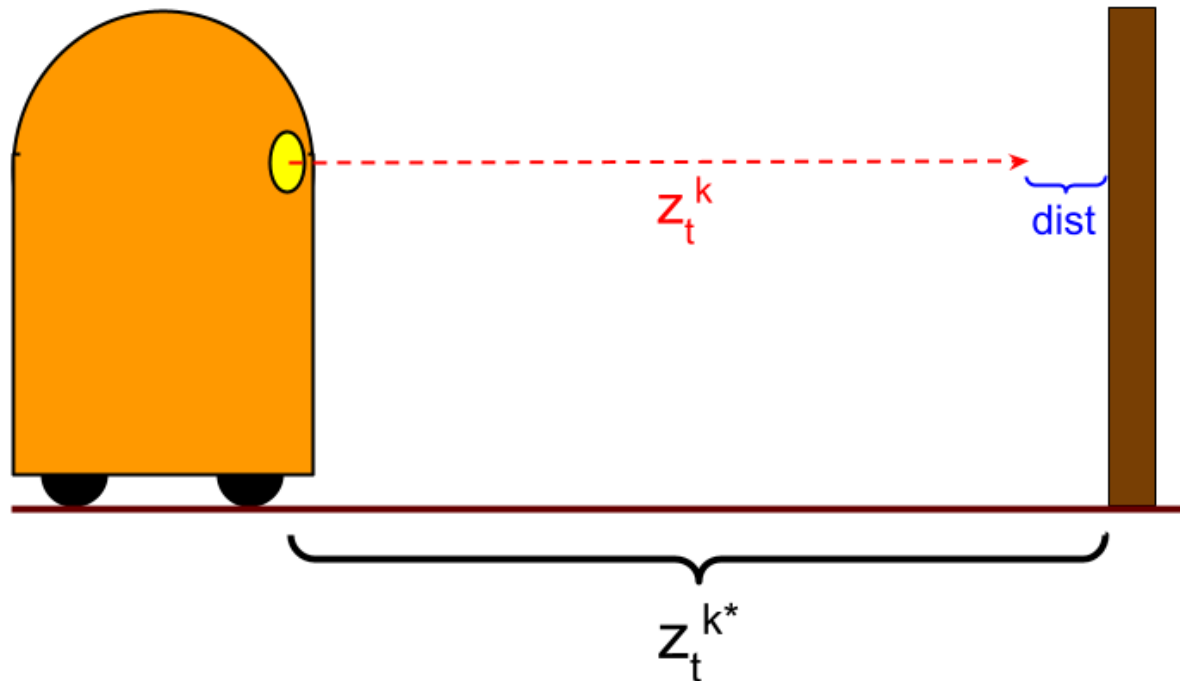
Likelihood Fields model

Likelihood Fields Model

- Dada una medición z_t^k , se genera un modelo *ad-hoc* dado por:
 - Una distribución Normal con media igual a la distancia al obstáculo más cercano (range)
 - Una distribución Uniforme para mediciones random, y
 - Una “pequeña” masa de probabilidad para errores z_{max}
- Se supone nuevamente que las mediciones son condicionalmente independientes

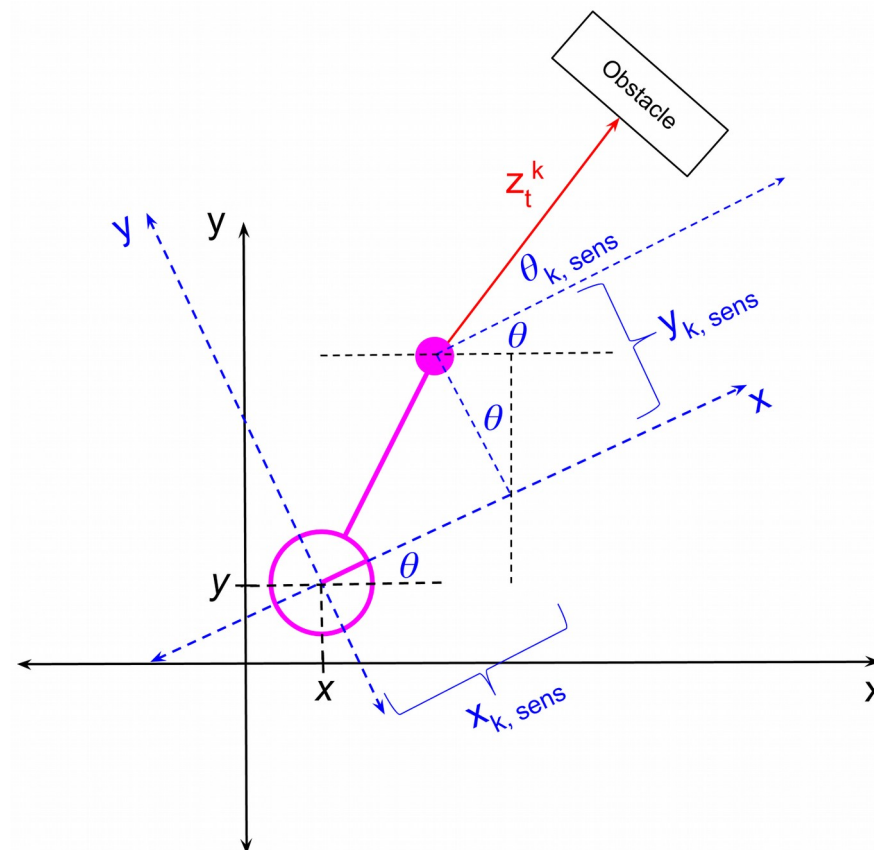
Likelihood Fields Model

- Idea: Obtener probabilidad que indique la **cercanía** (distancia) de la *punta del rayo* con el obtáculo más cercano



Likelihood Fields Model

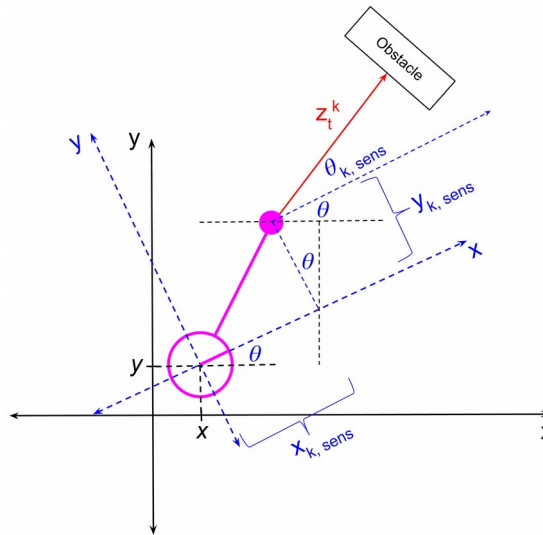
- Para determinar el obstáculo más cercano a z_t^k , primero se debe proyectar la medición desde el sistema de coordenadas del robot al sistema de coordenadas *global* del mapa



Likelihood Fields Model

- Como resultado, se obtiene la siguiente transformación:

$$\begin{pmatrix} x_{z_t^k} \\ y_{z_t^k} \end{pmatrix} = \begin{pmatrix} x \\ y \end{pmatrix} + \begin{pmatrix} \cos \theta & -\sin \theta \\ \sin \theta & \cos \theta \end{pmatrix} \begin{pmatrix} x_{k,\text{sens}} \\ y_{k,\text{sens}} \end{pmatrix} + z_t^k \begin{pmatrix} \cos(\theta + \theta_{k,\text{sens}}) \\ \sin(\theta + \theta_{k,\text{sens}}) \end{pmatrix}$$



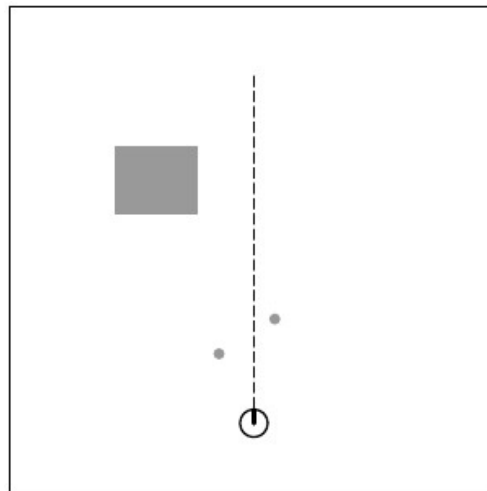
- Estas mediciones solo serán relevantes en los casos en que el sensor detecta un obstáculo
- Si $z_t^k = z_{\text{max}}$, la medición es descartada

Likelihood Fields Model

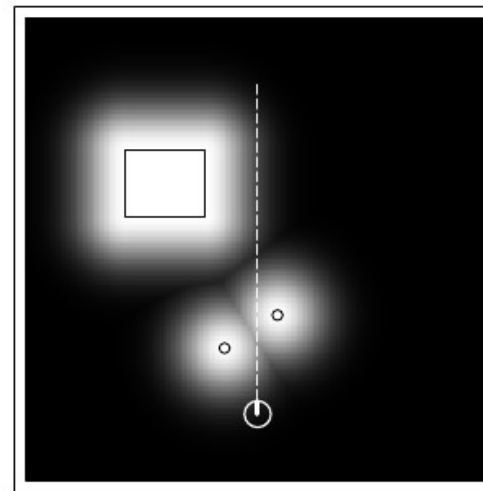
1) Ruido de medición

- Se busca en el mapa el obstáculo más cercano a $(x_{z_t^k} \ y_{z_t^k})^T$: *dist*
- El ruido del sensor es modelado por una Gaussiana centrada en cero, tal que:

$$p_{\text{hit}}(z_t^k \mid x_t, m) = \varepsilon_{\sigma_{\text{hit}}}(dist)$$



Map m

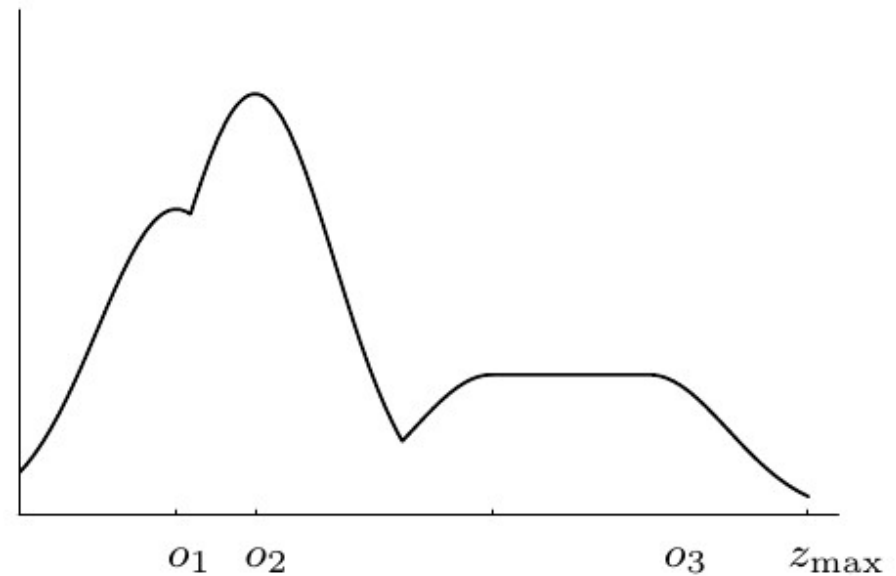
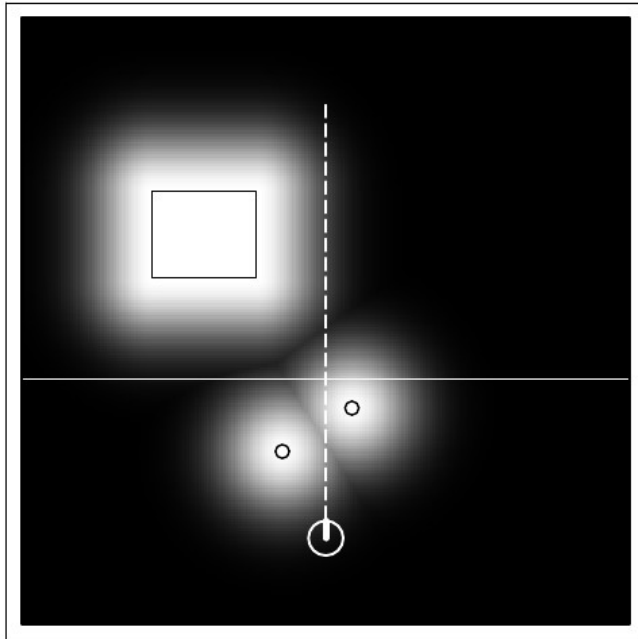


Likelihood field

Likelihood Fields Model

1) Ruido de medición

- Bajo estas condiciones, la densidad p_{hit} se obtiene al superponer (y normalizar) el *campo de verosimilitud* con el eje del sensor



Likelihood Fields Model

2) Fallas

- Al igual que en el modelo Beam-based, se define como una distribución de masa puntual en p_{max}

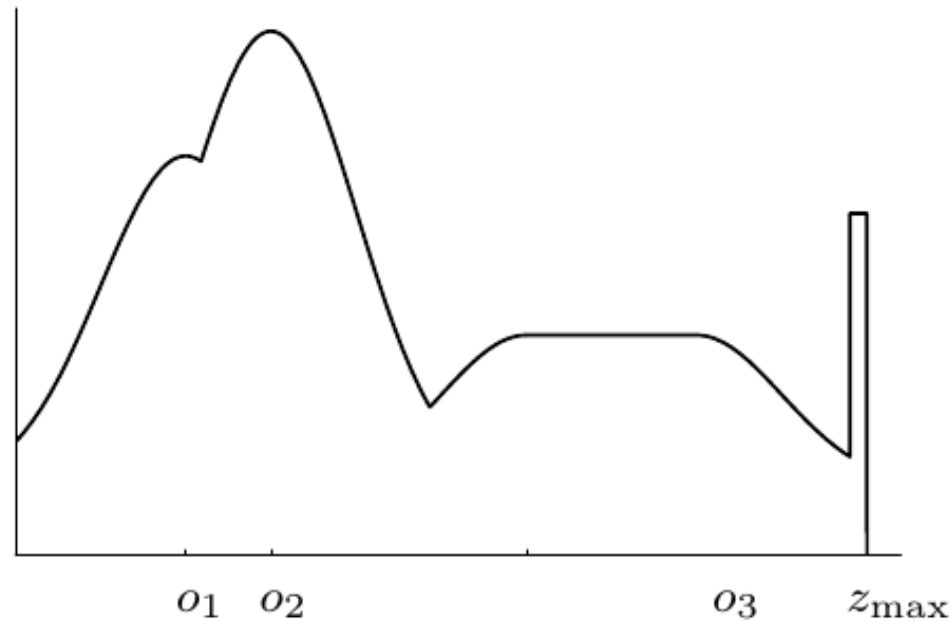
3) Mediciones aleatorias

- Distribución uniforme p_{rand}

Likelihood Fields Model

- Integrando las tres distribuciones se obtiene:

$$p(z_t^k | x_t, m) = z_{hit} \cdot p_{hit} + z_{rand} \cdot p_{rand} + z_{max} \cdot p_{max}$$



Likelihood Fields Model

- Algoritmo para el cálculo de la probabilidad de medición

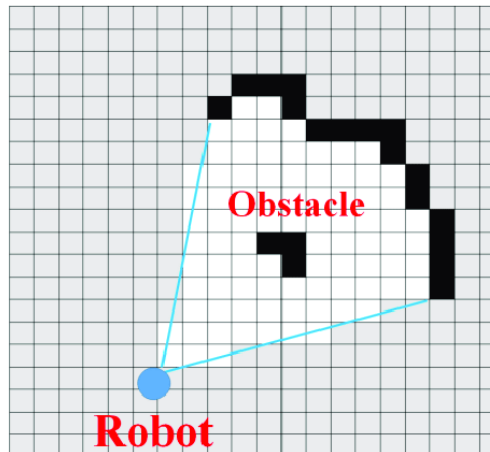
```
1:   Algorithm likelihood_field_range_finder_model( $z_t, x_t, m$ ):  
2:        $q = 1$   
3:       for all  $k$  do  
4:           if  $z_t^k \neq z_{\max}$   
5:                $x_{z_t^k} = x + x_{k,\text{sens}} \cos \theta - y_{k,\text{sens}} \sin \theta + z_t^k \cos(\theta + \theta_{k,\text{sens}})$   
6:                $y_{z_t^k} = y + y_{k,\text{sens}} \cos \theta + x_{k,\text{sens}} \sin \theta + z_t^k \sin(\theta + \theta_{k,\text{sens}})$   
7:                $dist = \min_{x', y'} \left\{ \sqrt{(x_{z_t^k} - x')^2 + (y_{z_t^k} - y')^2} \mid \langle x', y' \rangle \text{ occupied in } m \right\}$   
8:                $q = q \cdot \left( z_{\text{hit}} \cdot \mathbf{prob}(dist, \sigma_{\text{hit}}) + \frac{z_{\text{random}}}{z_{\max}} \right)$   
9:       return  $q$ 
```

Likelihood Fields Model - resumen

- No-paramétrico, no es necesario encontrar modelos. La lectura es el modelo en sí mismo
- Eficiente
- Produce distribuciones “suaves” con respecto a cambios de x , a diferencia de Beam-based model
- Problemas:
 - Asume ambiente estático, no modela causas de detecciones *cortas* (ej: personas)
 - Como consecuencia de la búsqueda del obstáculo más cercano, trata los sensores como si pudieran ver a través de las paredes

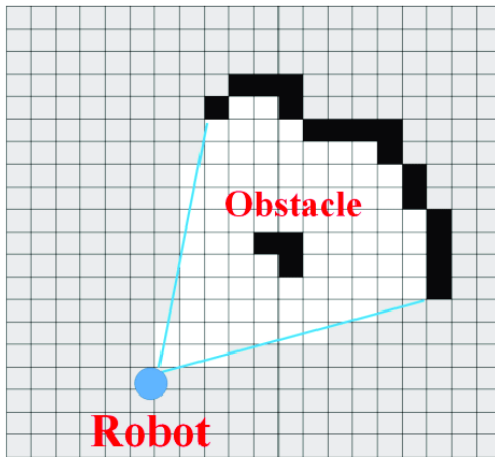
Map Matching Model

- Supongamos que podemos obtener un mini **mapa local**
 - Transformamos las mediciones z_t^k en un *mini* mapa m_{local}
 - Consideraremos un mapa en formato *Occupancy Grid Map*, que asigna valores de ocupación a las coordenadas (x, y) según algunos de los siguientes estados: *Ocupado*, *Libre* o *Desconocido*
- Mini-mapa debe tener las mismas características del **mapa global** (resolución, definición ocupado / desocupado / desconocido, etc).

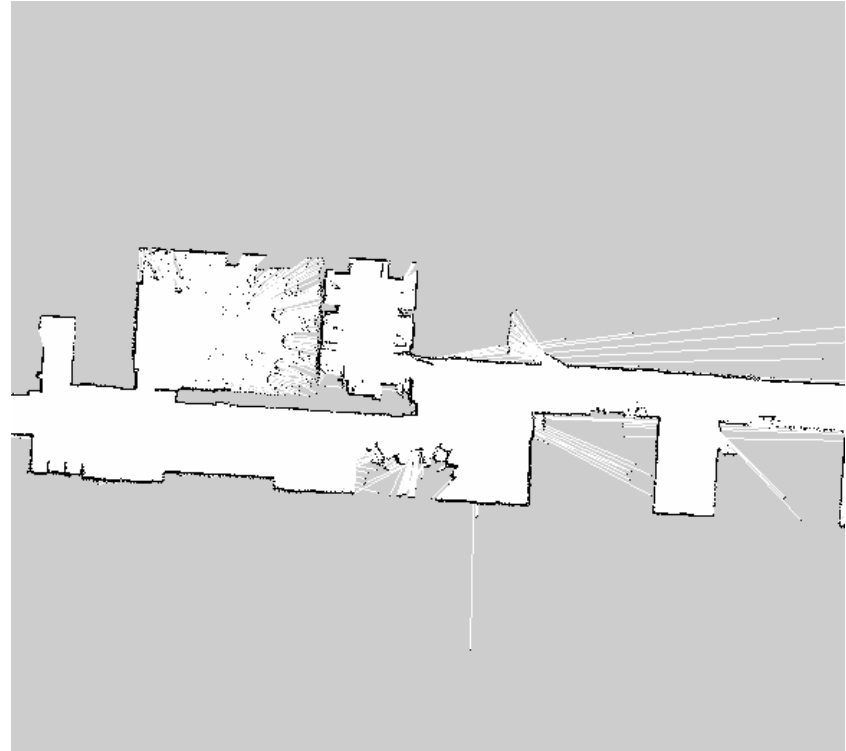


Map Matching Model

- Estrategia de solución: buscar la correlación entre el **mapa local** y el **mapa global**



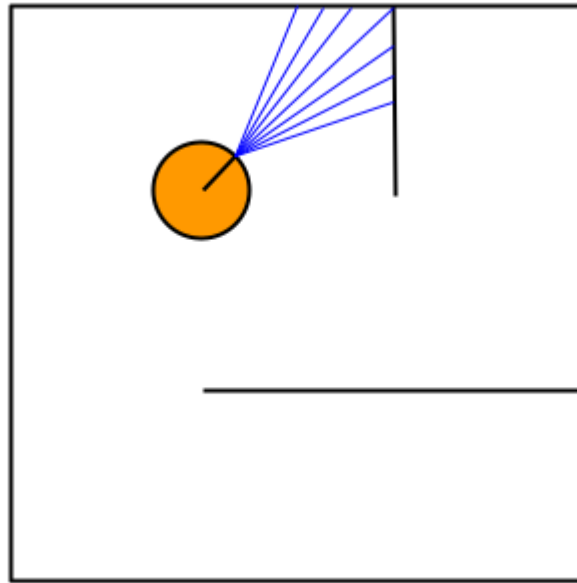
Mapa Local



Mapa Global

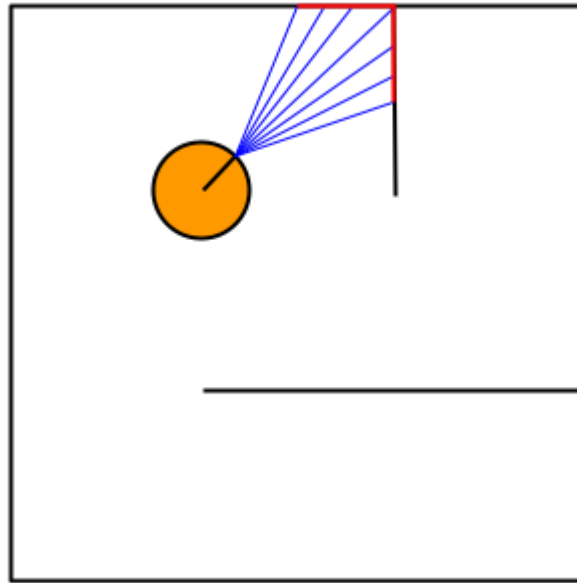
Map Matching Model

- Cálculo de correlación entre mapas local y global



Map Matching Model

- Cálculo de correlación entre mapas local y global

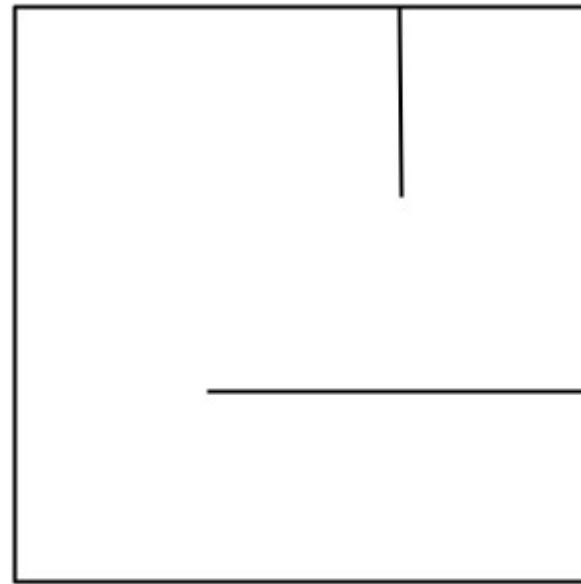


Map Matching Model

- Cálculo de correlación entre mapas local y global



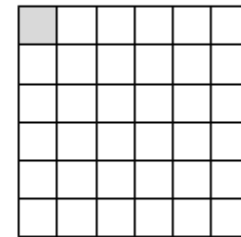
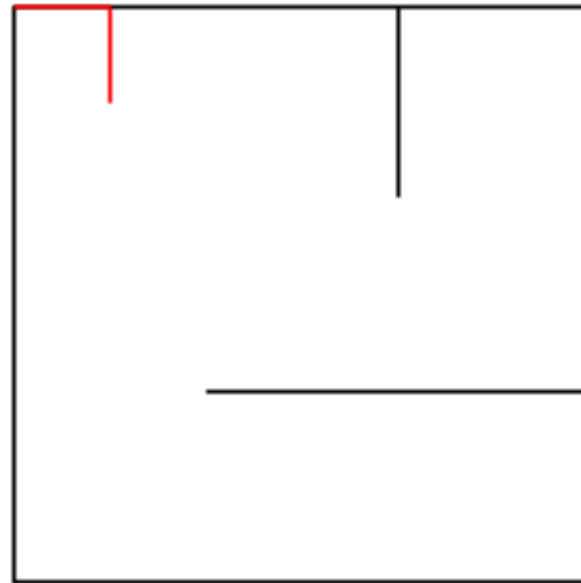
Mapa Local



Mapa Global

Map Matching Model

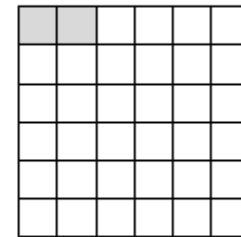
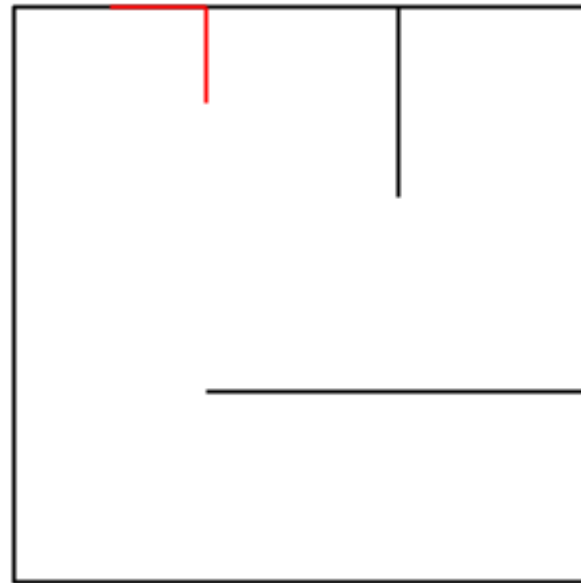
- Cálculo de correlación entre mapas local y global



Matriz de Correlación

Map Matching Model

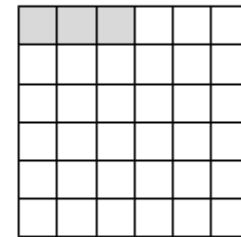
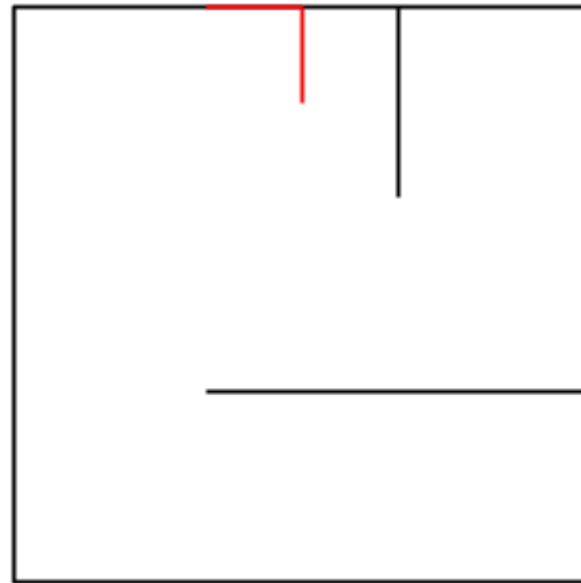
- Cálculo de correlación entre mapas local y global



Matriz de Correlación

Map Matching Model

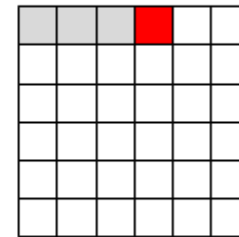
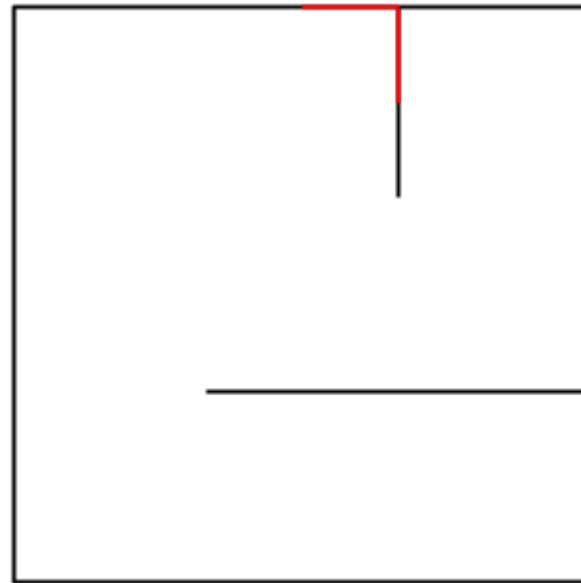
- Cálculo de correlación entre mapas local y global



Matriz de Correlación

Map Matching Model

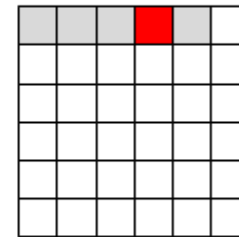
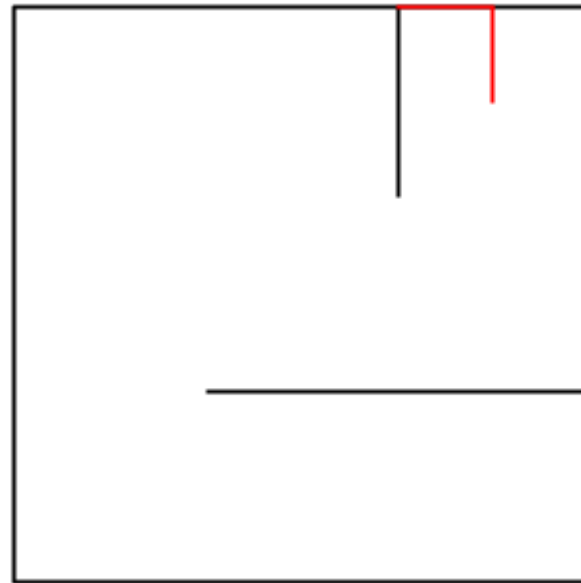
- Cálculo de correlación entre mapas local y global



Matriz de Correlación

Map Matching Model

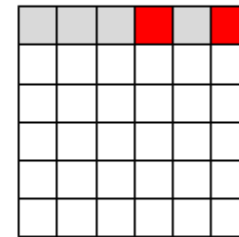
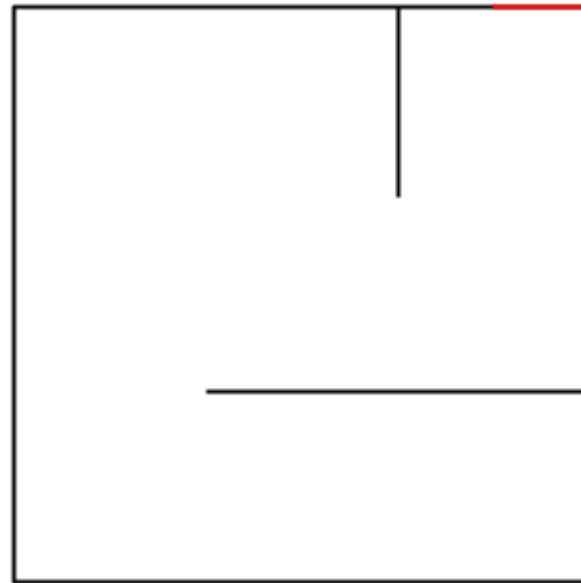
- Cálculo de correlación entre mapas local y global



Matriz de Correlación

Map Matching Model

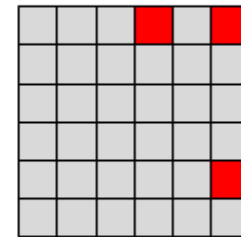
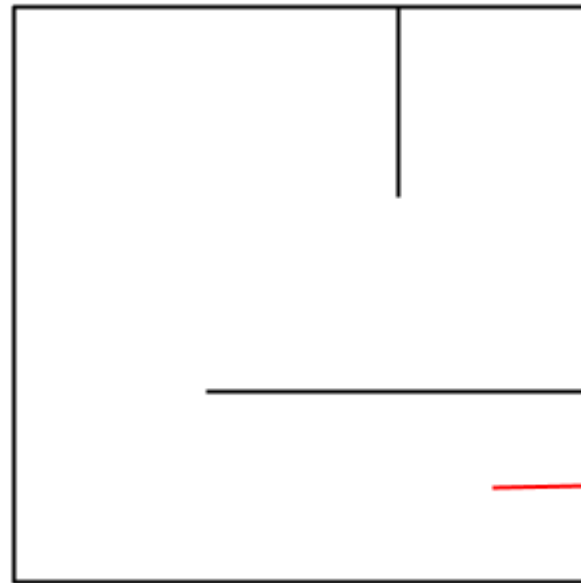
- Cálculo de correlación entre mapas local y global



Matriz de Correlación

Map Matching Model

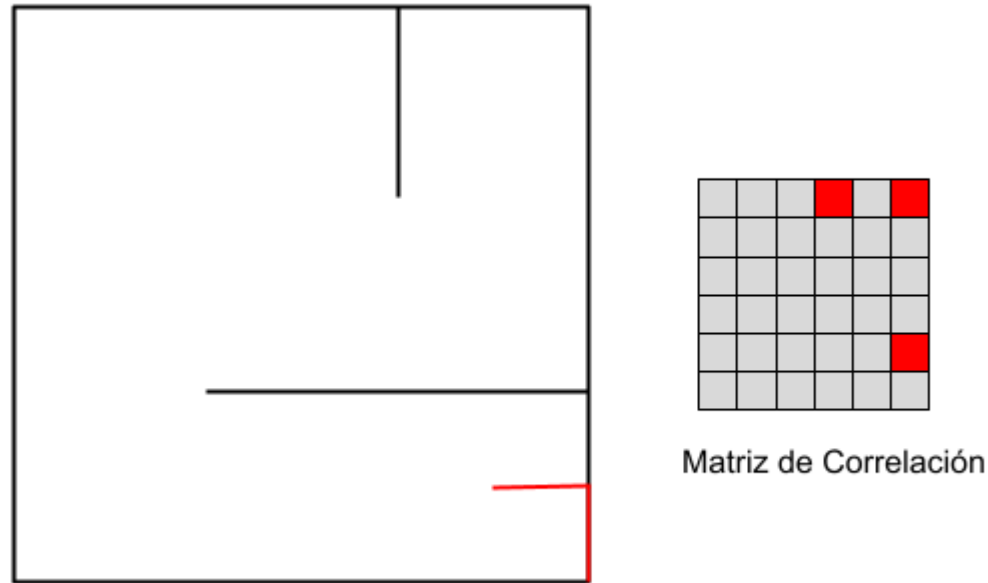
- Cálculo de correlación entre mapas local y global



Matriz de Correlación

Map Matching Model

- Cálculo de correlación entre mapas local y global



- La correlación debe ser calculada para distintas **posiciones** y **ángulos**

Map Matching Model

- Para encontrar $P(m_{\text{local}}|x_t, m)$, se utiliza una **función de correlación**:

$$\rho_{m, m_{\text{local}}, x_t} = \frac{\sum_{x,y} (m_{x,y} - \bar{m}) \cdot (m_{x,y,\text{local}}(x_t) - \bar{m})}{\sqrt{\sum_{x,y} (m_{x,y} - \bar{m})^2 \sum_{x,y} (m_{x,y,\text{local}}(x_t) - \bar{m})^2}}$$

$$\bar{m} = \frac{1}{2N} \sum_{x,y} (m_{x,y} + m_{x,y,\text{local}})$$

N : número de pares de celdas a correlacionar entre mapa local y global

- Dado que la función de correlación varía entre -1 y 1, se define:

$$p(m_{\text{local}} | x_t, m) = \max\{\rho_{m, m_{\text{local}}, x_t}, 0\}$$

- Además, si el mapa local fue generado a partir de una medición:

$$p(z_t | x_t, m) = p(m_{\text{local}} | x_t, m)$$

Map Matching Model

- **Ejemplo 1:** Suponga que se desea comparar el siguiente conjunto de celdas, cuyo estado puede tomar el valor 1 para *ocupado*, o 0 para *desocupado*, y tal que:

$$m = [0, 1] \quad : \quad \begin{array}{|c|c|} \hline 0 & 1 \\ \hline \end{array}$$

$$m_{local} = [0, 1] \quad : \quad \begin{array}{|c|c|} \hline 0 & 1 \\ \hline \end{array}$$

De los datos se infiere que $N = 2$, entonces:

$$\bar{m} = \frac{1}{2 \cdot 2} \cdot [(0 + 0) + (1 + 1)] = 0.5$$

$$\rho_{m, m_{local}, x_t} = \frac{[(0 - 0.5) \cdot (0 - 0.5) + (1 - 0.5) \cdot (1 - 0.5)]}{\sqrt{[(0 - 0.5)^2 + (1 - 0.5)^2] \cdot [(0 - 0.5)^2 + (1 - 0.5)^2]}} = 1$$

Map Matching Model

- **Ejemplo 2:** Suponga que se desea comparar el siguiente conjunto de celdas, cuyo estado puede tomar el valor 1 para *ocupado*, o 0 para *desocupado*, y tal que:

$$m = [0, 1] \quad : \quad \begin{array}{|c|c|} \hline 0 & 1 \\ \hline \end{array}$$

$$m_{local} = [1, 0] \quad : \quad \begin{array}{|c|c|} \hline 1 & 0 \\ \hline \end{array}$$

De los datos se infiere que $N = 2$, entonces:

$$\bar{m} = \frac{1}{2 \cdot 2} \cdot [(0 + 1) + (1 + 0)] = 0.5$$

$$\rho_{m, m_{local}, x_t} = \frac{[(0 - 0.5) \cdot (1 - 0.5) + (1 - 0.5) \cdot (0 - 0.5)]}{\sqrt{[(0 - 0.5)^2 + (1 - 0.5)^2] \cdot [(1 - 0.5)^2 + (0 - 0.5)^2]}} = -1$$

Map Matching Model

- En la práctica, ambos mapas son “suavizados” (Gaussian blur) para no tener correlaciones discontinuas.
- Muy usados en mapas métricos con sensores laser (Rangefinder)
 - Simple de calcular
 - Intuitivo
 - Considera el espacio libre a diferencia del modelo Likelihood-based

Bibliografía

- ***Probabilistic Robotics***, Thrun, S., Burgard, W., Fox, D.